

بررسی نقش کارکردی ژن شبه استریکتوسیدین سیتاز-۶ در گیاه تنش *Arabidopsis thaliana*

امین عابدی، رضا شیرزادیان خرم آباد* و محمد مهدی سوهانی

گروه بیوتکنولوژی کشاورزی دانشکده علوم کشاورزی دانشگاه گیلان، رشت، ایران.

(تاریخ دریافت: ۱۳۹۵/۰۱/۰۹، تاریخ پذیرش نهایی: ۱۳۹۵/۰۵/۰۲)

چکیده:

در آراییدپسیس ژنهای شناسایی شده که دارای همولوژی بالایی با ژن استریکتوسیدین سیتاز گیاه پریوش (*Catharanthus roseus*) می‌باشند. آنزیم استریکتوسیدین سیتاز در بیوستز مونوایندول الکالوئیدها نقش دارد. یکی از ژنهایی که بیان آن تغییرمعنی داری را در پاسخ به تنش‌های محیطی داشته ژن شبه استریکتوسیدین سیتاز شماره ۶ (*SSL6*) می‌باشد. به منظور بررسی نقش ژن *SSL6* در واکنش به تنش شوری، از لاین موتانت حاصل از درج T-DNA در ژن *SSL6* (*ssl6*) در آراییدپسیس استفاده شد. برخی ویژگیهای مرفلوژی، فیزیولوژیکی و ملکولی شامل درصد جوانهزنی، طول ریشه، فعالیت آنزیم‌های کاتالاز (CAT)، پراکسیداز (POD) و سوپراکسید دیسموتاز (SOD) و بیان نسبی ژنهای واکنش‌گر به تنش شامل *P5CSI* و *NCED3*، *RD29A*، *AAO3* در واکنش به شوری در لاین‌های جهش یافته اندازه گیری و با گیاهان شاهد مقایسه شد. داده‌های آزمایشی بر مبنای آزمایش فاکتوریل و در قالب طرح کامل تصادفی آنالیز شدند. فاکتورها شامل ژنتیپ تیپ وحشی (*Col-0*) و جهش یافته (*ssl6*) و سطوح مختلف شوری شامل صفر، ۱۰۰ و ۲۰۰ میلی‌مولاًر بود. نتایج آزمایش نشان داد که درصد جوانهزنی، طول ریشه و فعالیت آنزیم‌های SOD و POD در سطح یک درصد و آنزیم CAT در سطح پنج درصد در گیاه جهش یافته نسبت به گیاه تیپ وحشی دارای تفاوت معنی دار است. ژنهای مورد بررسی در گیاه جهش یافته در زمان‌های ۳ و ۶ ساعت پس از تیمار شوری بیان بالاتری نسبت به گیاه تیپ وحشی نشان دادند. نتایج این تحقیق برای اولین بار نقش خاموشی ژن *SSL6* بر افزایش تحمل آراییدپسیس به تنش شوری را گزارش می‌کند. در واقع نقش کارکردی این ژن بر تنش شوری در آراییدپسیس احتمالاً منفی است.

واژگان کلیدی: آراییدپسیس، تنش شوری، T-DNA *SSL6*

مقدمه:

زمین‌های زراعی تحت آبیاری جهان را تحت تأثیر قرار می‌دهد (Qadir *et al.*, 2008). پیشرفت تنش شوری عمدتاً طی فرآیند سه مرحله‌ای انجام می‌شود. ابتدا غلظت شوری بالا پتانسیل اسمزی خاک را کاهش داده و موجب تنش آبی در گیاه می‌شود. در مرحله دوم، موجب سمیت یونی می‌شود که علت آن عدم تجمع سدیم در واکوئل نظیر هالوفیت‌ها می‌

گیاهان موجودات ثابت و بی‌حرکتی هستند که با بسیاری از تنش‌های محیطی مواجه شده، اما توانایی فرار ندارند. لذا تنش‌هایی نظیر خشکی و سرما میزان رشد و تولید گیاهان را تحت تأثیر قرار می‌دهند (Msanne *et al.*, 2011). تنش شوری از جمله تنش‌های محیطی است که حداقل ۲۰ درصد

می‌کند (Koornneef and Meinke 2010). ژنتیک پیش‌رو (Forward genetics) روش شناسایی نقش ژن بر مبنای Reverse genetics فنوتیپ ایجاد شده است. ژنتیک معکوس (Reverse genetics) با تولید ژن جهش یافته و به دنبال آن بررسی تأثیر جهش بر فنوتیپ گیاه انجام می‌گیرد. از جمله روش‌های ژنتیک معکوس برچسب زنی ژن (Gene tagging) می‌باشد. این روش شامل درج تصادفی DNA با توالی شناخته شده نظری T-DNA در ژنوم می‌باشد. اگر این درج همراه با تغییر فنوتیپ گیاه باشد قطعاً رابطه‌ی معینی بین فعالیت ژن مسئول فنوتیپ وجود دارد (Walden, 2002). درج T-DNA اغلب موجب خاموشی بیان ژن و ایجاد یک آلل صفت مغلوب می‌شود. آنزیم استریکتوسیدین سیتاز (Str) (EC 4.3.3.2) اولین بار از گیاه پریوشن (*Catharanthus roseus*) جداسازی و مطالعات بعدی نشان داده که بیان این آنزیم توسط بسیاری از محرك‌های زیستی و غیر زیستی و نیز تنظیم کننده‌های رشد القاء و در نتیجه مقدار متابولیت‌های ثانوی افزایش می‌یابد. در مطالعه تأثیر سرما، شوری و نیتریک اکسید بر بیان این آنزیم مشاهده شد که بیان آن بوسیله آبشار کینازی و با میانجیگری کلسیم تنظیم می‌گردد (Dutta *et al.*, 2013; Stöckigt *et al.*, 2008).

گیاه *Arabidopsis thaliana* علی‌رغم اینکه توانایی تولید ترکیبات پیچیده الکالوئیدی را ندارد، اما حاوی ژن‌هایی است که همولوژی بالایی با ژن STR پریوشن داشته و لذا همولوگ ژن‌های فوق در آرابیدوپسیس شبه استرکتوسیدین سیتاز (Strictosidine Synthase Like, SSL) نامیده شدند (Fabbri *et al.*, 2000). تاکنون بر اساس مطالعات انجام گرفته ۱۵ ژن دارای دومین استریکتوسیدین سیتاز در آرابیدوپسیس شناسایی شده است که نقش و نوع فعالیت بسیاری از آن‌ها در پاسخ به تنش‌ها و نیز در مراحل نموی مشخص نشده است (Fabbri *et al.*, 2000). در آزمایشی که برای شناسایی ژن‌های RNA مارکر در پیری آرابیدوپسیس با استفاده از لکه گذاری Yellow-Leaf-Specific (YLS2) از خانواده ژنی SSL شناسایی شد که بوسیله اتیلن و ABA القا شده و دارای بیان اختصاصی در مراحل پیری گیاه

باشد. در مرحله سوم، تبادل نمک با مواد غذایی موجب کمبود و عدم تعادل در عناصر غذایی میکرو و ماکرو می‌شود. نتیجه این فرآیند سه مرحله‌ای مرگ گیاه می‌شود. (Munns, 2002). از مهمترین اثرات تنش شوری تولید بیش از حد گونه‌های فعال اکسیژن (ROS) در گیاهان می‌باشد که فعالیت زیاد و سمی آن منجر به تخریب پروتئین‌ها، چربی‌ها، کربوهیدرات‌ها و DNA و در نهایت منجر به مرگ سلولی می‌شود که نتیجه آن تنش اکسیداتیو است (Gill and Tuteja, 2010). مکانیسم‌های مولکولی مقاومت و تحمل به شوری نظیر فعالیت اسمولیت‌ها، اسموپراکتانت‌ها، آنزیم‌ها و ترکیبات ضد اکسیدانتی، پروتئین‌های مسیر پیام رسانی نظیر کینازها و نیز مسیر SOS در سال‌های اخیر شناسایی شده‌اند (Park *et al.*, 2016). از اسمولیت‌های مهم می‌توان به سوربیتول، مانیتول، فروکتان، بتانین، پرولین و گلایسین بتانین اشاره کرد (Cheong and Yun, 2007). ترکیبات ضد اکسیدانتی آنزیمی نظیر کاتالاز، پراکسیداز و سوپراکسید دیسموتاز و غیر آنزیمی توکوفرول، اسکوربیک اسید و گلوتاتیون را نام برد (Gill and Tuteja, 2010). مسیر SOS مهم‌ترین مسیر شناخته شده در پاسخ به تنش شوری و حفظ هموستازی داخل سلول می‌باشد. این مسیر شامل پروتئین SOS₁ بعنوان آنتیپورتر انتقال دهنده Na⁺/Na₂O⁺ پروتئین کیناز سرین/ترئونین و پروتئین متصل شونده به کلسیم SOS3 می‌باشد. همکاری پروتئین‌های SOS2 و SOS3 در نهایت موجب فعل شدن SOS1 در شرایط تنش می‌گردد (Ji *et al.*, 2013).

با وجود شناسایی بسیاری از ژن‌های درگیر در پاسخ گیاهان به تنش‌های زیستی و غیرزیستی، یکی از موضوعات مهم در تحقیقات بیولوژی مولکولی بررسی و شناسایی نقش دقیق سایر ژن‌ها می‌باشد. کامل شدن و در دسترس قرار گرفتن اطلاعات ژنومی گیاهان، تمرکز از ژنومیکس ساختاری را به سمت ژنومیکس کارکردی تغییر داد (Radhamony *et al.*, 2005). گیاه آرابیدوپسیس به دلیل ویژگی‌های بیولوژیکی خاص نظیر طول دوره کوتاه زندگی، تولید بذر فراوان و راحتی ترانسفورماتیون در شناسایی عملکرد ژن‌ها نقش اساسی ایفا

DNA در ژن *SSL6* (*ssl6*) به شماره دسترسی (SALK_046142) استفاده شد که از مرکز منابع زیستی (Arabidopsis Biological Resource Center) آراییدوپسیس (Arabidopsis Biological Resource Center) تهیه گردیده بود. در لاین جهش یافته، T-DNA در ناحیه پروموتوری و در نزدیک ۵'UTR در ژن *SSL6* درج شده است. داده‌های مربوط به ساختار ژن شامل اندازه UTR، اگزون و انtron و تعداد آنها و نیز محل درج T-DNA از طریق سایت اختصاصی ژنوم آراییدوپسیس (TAIR) (Arabidopsis.org) بدست آمد (شکل ۱).

برای کشت گیاهان در شرایط درون شیشه‌ای (*In vitro*) از محیط کشت MS ۱/۲ حاوی ۱٪ ساکارز استفاده گردید. ضد عفونی بذرها بوسیله هیپوکلرید سدیم ۱٪ به مدت ۱۰ دقیقه و ۳ بار آبکشی با آب دو بار استریل شده انجام گرفت. برای ورنالیزاسیون، بذرها به مدت ۳ روز در تاریکی و در دمای ۴ درجه سانتی‌گراد قرار گرفتند. برای کشت گیاهان در گلدان از نسبت مساوی ترکیب پرلیت، پیتماس، ورمیکولیت و ورمی کمپوست استفاده شد. آبیاری گیاهان هر ۴ روز یکبار و از کف گلدان‌ها انجام گرفت. شرایط محیطی رشد گیاهان در کشت درون شیشه و گلدان شامل دمای ۲۲ درجه سانتی‌گراد و دوره روشنایی/تاریکی ۸/۱۶ با شدت نوری $120 \text{ mol/m}^2\text{sec}$ بود.

بررسی تأثیر تنش شوری بر درصد جوانه زنی و طول ریشه: برای ارزیابی درصد جوانه زنی، بذرهای ژنوتیپ تیپ و حشی و ژنوتیپ *ssl6* در شرایط درون شیشه که محیط حاوی غلظت‌های صفر، ۱۰۰ و ۲۰۰ میلی‌مولار NaCl کشت و بعد از ورنالیزاسیون به اتفاق رشد انتقال یافت. برآورد درصد جوانه زنی ۷۴ ساعت بعد از انتقال بذرها به اتفاق رشد شروع و به مدت ۷ روز ادامه داشت. بذوری جوانه زده در نظر گرفته شدند که ریشه-چه پوسته بذر را شکافته و بیرون آمدند (Yan et al., 2014).

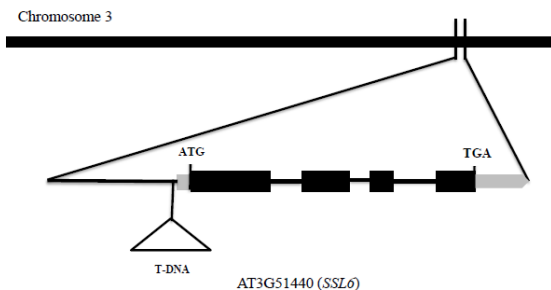
در آزمون بررسی طول ریشه بذرهای گیاه تیپ و حشی و موتانت در شرایط درون شیشه کشت شده و پس از شکسته شدن خواب بذرها، به اتفاق رشد انتقال داده شدند. ۴ روز بعد از جوانه زنی، گیاهچه‌ها به محیط MS ۱/۲ حاوی ۱٪ ساکارز داری غلظت‌های صفر، ۱۰۰ و ۲۰۰ میلی‌مولار NaCl انتقال

در گل بوده و در ریشه و ساقه قابل شناسایی نیست (Yoshida et al., 2001). همچنین ژن LAP3 (Less Adherent Pollen) که از همین خانواده می‌باشد نقش مهمی در نمو دانه گرده داشته و خاموشی این ژن باعث نر عقیمی می‌گردد، زیرا دانه گرده تولید شده فاقد اگرین می‌باشد (Dobritsa et al., 2009). مطالعاتی که بر روی القاء بیان ژن‌های *AtSSL4*-*AtSSL7* آراییدوپسیس انجام گرفت، مشخص شد که ژن‌های شبه همومیوسین در اثر زخم، تیمار با ویروس CMV و قارچ *Alternaria brassicicola* پیام دفاعی نظری سالسیلیک اسید، جاسمونات و اتیلن به صورت معنی‌داری افزایش می‌یابد که نشان دهنده نقش احتمالی این ژن‌ها در مکانیسم دفاعی القائی در گیاه می‌باشد (Sohani et al., 2008). همچنین میزان بیان این ژن‌ها در پاسخ به تنش‌های شوری، نور ماوراء بتنفس و سالسیلیک اسید چند برابر شرایط شاهد می‌باشد. این افزایش بیان ژن *SSL6* در پاسخ به محرك‌های زیستی و غیر زیستی، احتمال ایفاء نقش این ژن در شرایط تنش را افزایش می‌دهد (Kibble et al., 2009).

در این تحقیق، به منظور بررسی نقش ژن *SSL6* در پاسخ گیاه آراییدوپسیس به تنش شوری از لاین جهش یافته *T-SSL6* که در آن ژن *SSL6* سرکوب شده است استفاده شد. درصد جوانه زنی، رشد ریشه و فعالیت آنزیم‌های آنتی اکسیدانتی بر اثر این جهش در گیاه موتانت افزایش یافته و ژن‌های پاسخ به تنش‌های غیر زیستی در گیاه موتانت نسبت به گیاه تیپ و حشی بیان بیشتری را نشان می‌دهند. تاکنون هیچ مطالعه‌ای بر روی ارتباط ژن *SSL6* و تنش شوری گزارش نشده است، لذا برای اولین بار نقش خاموشی ژن *SSL6* بر بر افزایش تحمل آراییدوپسیس به تنش شوری را گزارش می‌کند. در واقع نقش کارکردی این ژن بر تنش شوری در آراییدوپسیس احتمالاً منفی است.

مواد و روش‌ها:

مواد گیاهی و شرایط رشد: در این تحقیق از ژنوتیپ‌های تیپ و حشی آراییدوپسیس (Col-0) و لاین جهش یافته حاوی *T-SSL6* استفاده شد.



شکل ۱- نمایی شماتیک از محل درج T-DNA در ژن *SSL6* بر اساس داده‌های دریافتی از پایگاه داده TAIR در بالا دست ^۵ درج شده است. بخش‌های سیاه رنگ مربوط به نواحی اگزون و خطوط مربوط به انترون و بخش‌های خاکستری مربوط به نواحی UTR ^۵ می‌باشد.

میکرولیتر گایاکول ۲۸ میلی‌مولار و ۱۹۰۰ میکرولیتر از بافر فسفات پتاسیم ۵۰ میلی‌مولار بود. برای اندازه‌گیری فعالیت آنزیم کاتالاز تجزیه H_2O_2 در طول موج ۲۴۰ نانومتر به مدت یک دقیقه ثبت شد. محلول واکنش شامل ۲/۶ میلی‌لیتر بافر فسفات پتاسیم ۵۰ میلی‌مولار، ۴۰۰ میکرولیتر از ۱۵ H_2O_2 Sizer and میلی‌مولار و ۴۰ میکرولیتر هز عصاره آنزیمی بود (Beers, 1952). فعالیت آنزیم‌ها به صورت $U/gFW\text{min}$ تعیین شد. فعالیت آنزیم SOD با اندازه‌گیری توانایی آنزیم در جلوگیری از کاهش فتوشیمیایی نیتروبلو-ترازولیوم (NBT) تعیین شد. در این اندازه‌گیری بافر شماره یک شامل بافر فسفات ۵۰ میلی‌مولار، حاوی EDTA (۱.۵ میلی‌مولار)، متیونین (۲۰۰ میلی‌مولار) و NBT (۱/۱۲ میکرو مولار) با pH=۷ و بافر دو شامل بافر ریبوفلاوین (۷۵ میلی‌مولار) می‌باشد. پس از آماده‌سازی نمونه‌ها به منظور اندازه‌گیری فعالیت آنزیمی، نمونه بلانک به مدت ۱۵ دقیقه در تاریکی قرار داده شد و نمونه‌های کنترل (شاهد) و عصاره آنزیمی، به مدت ۱۵ دقیقه، در شیکر با دمای ۲۵ درجه سانتی‌گراد و دارای دو عدد لامپ فلورستن ۴۰ وات با سرعت ۱۰۰ دور در دقیقه قرار گرفتند. سپس میزان جذب در طول موج ۵۶۰ نانومتر با استفاده از دستگاه اسپکتروفتومتر خوانده شد. یک واحد SOD به مقدار آنزیمی گفته می‌شود که سبب مهار ۵۰ درصد NBT به فورمازان شود. تفاوت بین جذب هر عصاره در مدت زمان روشنایی ۱۵ دقیقه و جذب عصاره آنزیمی در همان مدت زمان روشنایی در واقع نشان دهنده بازداشتی

یافته و طول ریشه‌ها ۵ روز پس از تیمار اندازه‌گیری شد (Li et al., 2010). برای اندازه‌گیری طول ریشه‌ها از نرم افزار ImageJ استفاده شد.

اندازه‌گیری فعالیت آنزیم‌های آنتی‌اکسیدانت: برای اندازه‌گیری فعالیت آنزیم‌های پراکسیداز (POD, Peroxidase) و سوپراکسید دیسموتاز (SOD, Superoxide dismutase) و کاتالاز (CAT, Catalase) در پاسخ به تنش شوری، بذرهای ورنالیزه شده دو ژنوتیپ Col-0 و *ssl6* در گلدان کشت شدند. بعد از چهار هفته غلظت‌های صفر، ۱۰۰ و ۲۰۰ میلی‌مولار جهت اعمال تنش شوری همراه آب آبیاری به گیاهان داده شد. نمونه‌گیری از برگ‌ها ۴ روز بعد از اعمال تیمار انجام و نمونه‌ها پس از انجماد در ازت مایع به فریز -۷۰-۷۰ انتحال یافتند. برای اندازه‌گیری فعالیت آنزیم‌های آنتی‌اکسیدانت و استخراج عصاره آنزیمی برگ گیاهان در ازت مایع خرد شده و سپس به هر نمونه ۱ میلی‌لیتر بافر فسفات ۵۰ میلی‌مولار اضافه گردید. بافت هموژن شده به مدت ۱۵ دقیقه در دمای ۴ درجه سانتی‌گراد با سرعت ۵۰۰ سانتی‌فیوژ شد و محلول رویی برای اندازه‌گیری فعالیت آنزیم‌ها استفاده شد.

فعالیت POD در برگ‌ها بر اساس اکسیداسیون گایاکول در حضور H_2O_2 اندازه‌گیری شد. افزایش جذب در طول موج ۴۷۰ نانومتر به مدت یک دقیقه ثبت شد (Chance and Maehly, 1955). محلول واکنش شامل ۱۰۰ میکرولیتر عصاره استخراج شده، ۵۰۰ میکرولیتر از H_2O_2 ۵ میلی‌مولار، ۵۰۰

کشت و به مدت ۲ هفته رشد کردند. به منظور اعمال تیمار، ابتدا کاغذهای واتمن در محیط MS حاوی یک درصد ساکاراز و غلظت ۱۵۰ میلی مولار NaCl خیسانده شده و به پتری منتقل شدند. گیاهچه‌های رشد کرده با احتیاط از محیط کشت جدا شده و به محیط تیمار انتقال یافتند. نمونه برداری در زمان‌های صفر، ۳ و ۶ ساعت بعد از تیمار انجام گرفت. نمونه‌ها برای انجام آنالیزهای بعدی در فریزر -۷۰°C قرار گرفتند (Dong and Liu, 2010).

جهت استخراج RNA از کیت RNXPlus شرکت سیناکلون استفاده شد. کیفیت و کمیت RNA استخراج شده بوسیله الکتروفورز و اسپکتروفوتومتر بررسی گردید. به منظور جلوگیری از تکثیر احتمالی مربوط به DNA ژنومی که در همراه RNA استخراج می‌شود، نمونه‌های استخراج شده با (Thermo Fisher) DNaseI cDNA باستفاده از Oligo dT و کیت سترن (Thermo Fisher) انجام گرفت. طراحی پرایمر ژن‌های AAO3 ACT-2 Primer3 و P5CS1 با استفاده از نرم‌افزار (<http://primer3.ut.ee>) انجام شد (جدول ۱).

cDNA هر واکنش Real Time-PCR شامل ۱ میکرولیتر Real Time-PCR رقیق شده (نسبت ۱ به ۱۰)، ۰/۳ میکرولیتر از هر پرایمر با غلظت ۰/۳ میکرومولار ۰/۲۵ میکرولیتر Master Mix شرکت Thermo Fisher و ۰/۶۵ میکرولیتر آب بود. ژن اکتین-۲ جهت نرمال سازی داده‌های واکنش استفاده شد. برای انجام واکنش Real Time-PCR از دستگاه (Bio-Rad CFX96) استفاده شد. از فرمول $\Delta\Delta CT$ برای آنالیز داده‌ها استفاده شد (Livak and Schmittgen, 2001).

نتایج و بحث:

به منظور بررسی تأثیر ژن SSL6 در پاسخ گیاه *A. thaliana* به تنش شوری، از لاین سرکوب شده حاصل از درج T-DNA در این ژن استفاده گردید. بررسی صفات درصد جوانه‌زنی، طول ریشه، فعالیت آنزیم‌های کاتالاز، پراکسیداز و سوپر اکسیداز و همچنین بررسی میزان بیان نسبی ژن‌های

واکنش خودبخودی و تشکیل فورمازان توسط SOD است. فعالیت آنزیم در نهایت بر حسب $\mu\text{Mol/g FW}$ محاسبه شد (Beauchamp and Fridovich, 1971).

طرح آزمایشی و آنالیزهای آماری: آزمایش‌ها به صورت فاکتوریل در قالب طرح کاملاً تصادفی آزمایشگاه بیوتکنولوژی دانشگاه گیلان انجام گرفت. فاکتورهای آزمایشی شامل ژنوتیپ تیپ وحشی آراییدوپسیس (Col-0) و لاین جهش یافته sl6 و سطوح تیمار شوری بود. برای اندازه‌گیری درصد جوانه زنی و رشد ریشه، آزمایش در سه سطح تیماری و هر سطح تیمار در سه تکرار در داخل پتری انجام گرفت. برای اندازه‌گیری درصد جوانه زنی هر تکرار شامل یک پتری دیش بود که در نصف آن ۵۰ عدد بذر Col-0 و در نصف دیگر آن ۵۰ عدد بذر sl6 کشت شده بود. در مورد صفت طول ریشه نیز هر تکرار شامل یک پتری دیش حاوی ۵ گیاهچه Col-0 و پنج گیاهچه sl6 بود.

در بخش مربوط به اندازه‌گیری میزان فعالیت آنزیم‌های آنتی‌اکسیدانتی، آزمایش در سه سطح تیماری و هر سطح تیمار در سه تکرار و در داخل گلدان انجام گرفت. از هر لاین ۴ گلدان (در هر گلدان ۴ عدد بذر) کشت شد. بعد از چهار هفته از میان گیاهانی که از نظر رشد و نمو بهتر انتخاب شدند. برای انجام آزمایش برای هر تکرار از هر لاین ۳ گلدان انتخاب و به ظرف بزرگتر انتقال یافت. در حالت کلی هر سطح تیمار دارای ۳ ظرف بزرگ بعنوان تکرار و در هر تکرار از هر لاین ۳ گلدان وجود داشت. برای اعمال تیمار غلظت-های مختلف NaCl در آب حل شده و به ظروف حاوی گلدان‌ها اضافه شد. پس از چهار روز نمونه برداری انجام گرفت. برای نمونه‌گیری در هر تکرار از هر سه گلدان نمونه‌برداری انجام گرفته و نمونه‌ها باهم Pool شدند. آنالیز داده‌ها و رسم نمودارها به ترتیب با نرم‌افزارهای SAS و Excel و مقایسه میانگین به روش دانکن انجام گرفت.

بررسی الگوی بیان نسبی برخی از ژن‌های پاسخ به تنش شوری: برای بررسی بیان نسبی ژن‌های پاسخ به تنش شوری، بذرهای دو ژنوتیپ Col-0 و sl6 در شرایط درون شیشه

جدول ۱- نام و اطلاعات پرایم‌های مورد استفاده در واکنش Real Time PCR

نام ژن	شماره دسترسی*	پرایم رفته	پرایم معکوس	طول قطعه
P5CS1	AT2G39800	GCACACACAGACTGCATTGT	CGACTGGACCACGAGCAT	178
RD29A	AT5G52310	ACGACGACAAAGGAAGTGGAA	AATGTGGCGATTCTGGCTTC	163
AAO3	AT2G27150	GTTCTCTCCTCCAAAGCGTC	CCGCAAAGAGACTTCACCAC	185
NCED3	AT3G14440	CGGAGAAGGAGGAGAGGAAG	GCTCCGATGAATGTACCGTG	168
ACT2	AT3G18780	CTTGTCCAGCCCTCGTTG	CGATACTGAGAACATAGTGG	149

*Accession number

جدول ۲- تجزیه واریانس اثر شوری بر روی صفات مورفولوژیکی و بیوشیمیایی ژنوتیپ‌های Col-0 و *ssl6*.

CAT(U/gFWmin)	POD (U/gFWmin)	SOD(μMol/g FW)	(Cm)	درصد جوانه زنی	درجه آزادی	منابع تغییر
۰/۰۰۱*	۰/۱۲**	۰/۰۰۱**	۰/۳۵۶**	۵۶/۰۵**	۱	ژنوتیپ
۰/۰۰۰۱ns	۰/۲۴**	۰/۰۰۳۵**	۸/۸۴۷**	۳۵۵۷/۲۸**	۲	تیمار
۰/۰۳۷ns	۰/۰۳۷*	۰/۰۰۰۰۵ns	۰/۱۶۹ns	۳۱/۲**	۲	ژنوتیپ*تیمار
۰/۰۰۱۵	۰/۰۹۹	۰/۰۰۰۷۴	۰/۴۵۶	۱۴/۱۹	۱۲	خطا

Ns، * و ** به ترتیب غیر معنی دار و معنی دار در سطح ۵ درصد و ۱ درصد.

جدول ۳- مقایسه میانگین اثرات اصلی تنش شوری بر روی برحی از صفات مورفولوژیکی و بیوشیمیایی ژنوتیپ‌های Col-0 و *ssl6*.

CAT(U/gFWmin)	POD (U/gFWmin)	SOD(μMol/g FW)	(Cm)	درصد جوانه زنی	سطوح	منابع تغییر
۰/۰۰۸ ^b	۰/۲۶۳ ^b	۰/۰۳۷ ^b	۱/۴۴۴ ^b	۳۰/۷۸ ^b	Col-0	ژنوتیپ
۰/۰۲۲ ^a	۰/۴۳۷ ^a	۰/۰۵۲ ^a	۱/۷۲۵ ^a	۳۴/۳ ^a	<i>ssl6</i>	
۰/۰۲۲ ^a	۰/۱۶ ^c	۰/۰۱۶ ^b	۲/۲۸۴ ^a	۴۹/۱۶ ^a	صفر	
۰/۰۱۵ ^a	۰/۳۱ ^b	۰/۰۵۶ ^a	۱/۸۴۳ ^b	۴۳/۸۸ ^b	تیمار شوری ۱۰۰ میلی مولار	
۰/۰۱۱ ^a	۰/۵۶ ^a	۰/۰۶ ^a	۰/۶۲۶ ^c	۴/۶ ^c	میلی مولار ۲۰۰	

میانگین‌های دارای حرف مشترک در هر ستون، بر اساس آزمون دانکن اختلاف معنی داری ندارند.

ژنوتیپ به صورت معنی داری کاهش پیدا کرده است (جدول ۳). بر اساس مقایسه میانگین اثرات متقابل در سطح صفر تیمار، تفاوت معنی داری بین دو ژنوتیپ دیده نمی شود ولی در سطوح ۱۰۰ و ۲۰۰ میلی مولار میانگین درصد جوانه زنی در ژنوتیپ *ssl6* به ترتیب ۴۵/۶ و ۹ درصد بوده که این مقدار برای ژنوتیپ مادری ۱۵/۱۵ و ۰/۵۲ درصد می باشد و لذا در این دو سطح تفاوت بین دو ژنوتیپ معنی دار می باشد (جدول ۴). بیشترین تفاوت در درصد جوانه زنی مربوط به غلظت ۲۰۰ میلی مولار بود که در ژنوتیپ تیپ وحشی حداقل ۴٪ جوانه زنی مشاهده شد در حالی که در ژنوتیپ موتابت این مقدار تا ۰/۴۶ افزایش یافت. نتایج فوق نشان داد که موتابت *ssl6* عملکرد بهتری نسبت به تیپ وحشی در خصوص جوانه زنی دارد.

واکنش گر در گیاهان وحشی و موتابت در شرایط تنش شوری نشان دهنده تأثیر منفی فعالیت *SSL6* بر پاسخ گیاه به تنش شوری می باشد.

اندازه گیری درصد جوانه زنی و طول ریشه: در این تحقیق برای ارزیابی میزان حساسیت موتابت *ssl6* در پاسخ به تنش شوری طی جوانه زنی بذر، مقدار مختلط *NaCl* به محیط کشت اضافه گردید. نتایج تجزیه واریانس نشان داد که بین ژنوتیپ‌ها، سطوح مختلف تنش شوری و اثر متقابل ژنوتیپ و تیمار اختلاف معنی دار در سطح یک درصد وجود دارد (جدول ۲).

بر اساس مقایسه میانگین اثرات اصلی، تفاوت درصد جوانه زنی در ژنوتیپ *ssl6* نسبت به ژنوتیپ Col-0 معنی دار بوده، همچنین با افزایش غلظت *NaCl* درصد جوانه زنی در هر دو

جدول ۴- مقایسه میانگین اثرات متقابل برخی از صفات مورفولوژیکی و بیوشیمیایی ژنتیپ‌های Col-0 و *ssl6*

سطوح شوری	ژنتیپ	درصد جوانه زنی	POD(U/gFWmin)
صفر	Col-0	۴۹/۶۶ ^a	۰/۱۶۹ ^a
	<i>ssl6</i>	۴۸/۶۶ ^a	۰/۱۵ ^a
۱۰۰ میلی مولار	Col-0	۴۲/۱۵ ^b	۰/۱۹۵ ^b
	<i>ssl6</i>	۴۵/۶ ^a	۰/۴۳ ^a
۲۰۰ میلی مولار	Col-0	۰/۵۳ ^b	۰/۴۲ ^b
	<i>ssl6</i>	۹ ^a	۰/۷۰ ^a

میانگین هایی که دارای حروف مشترک می باشد بر اساس آزمون توکی تفاوت معنی داری باهم ندارند.

داشته و لذا رشد طولی ریشه در گیاهان موتانت با کاهش کمتری مواجه بوده است.

فعالیت آنزیم‌های آنتی‌اکسیدانت: به منظور ارزیابی تأثیر خاموشی ژن *SSL6* بر روی فعالیت آنزیم‌های آنتی‌اکسیدانت، در این تحقیق فعالیت آنزیم‌های کاتالاز، پراکسیداز و سوپراکسیداز بررسی گردید. بر اساس داده‌های حاصل از تجزیه واریانس فعالیت آنزیم SOD بین ژنتیپ‌ها و نیز سطوح تنش در سطح ۱ درصد معنی دار، اما اثر متقابل ژنتیپ و تیمار معنی دار نبوده است (جدول ۲). مقایسه میانگین نشان داد که بین دو ژنتیپ تفاوت وجود داشته و فعالیت این آنزیم در ژنتیپ *ssl6* برابر با $0.051 \mu\text{Mol/g FW}$ و بیشتر از $0.037 \mu\text{Mol/g FW}$ در ژنتیپ Col-0 می باشد. در بین سطوح مختلف تنش شوری اختلاف معنی داری بین سطوح ۱۰۰ و ۲۰۰ میلی مولار با سطح صفر وجود دارد به عبارتی؛ افزایش شدت تنش باعث افزایش فعالیت آنزیم SOD گردیده است (جدول ۳).

بر اساس نتایج حاصله از تجزیه واریانس داده‌های حاصل از فعالیت آنزیم POD در مورد ژنتیپ و تیمار در سطح ۱ درصد و در مورد اثر متقابل ژنتیپ و تیمار در سطح ۵ درصد معنی دار می باشد (جدول ۲). مقایسه اثرات ساده در مورد ژنتیپ‌ها نشان می دهد که میزان فعالیت آنزیم POD در ژنتیپ *ssl6* به مقدار $U/gFWmin = 0.432$ و در ژنتیپ Col-0 $U/gFWmin = 0.626$ بوده و تفاوت بین آنها معنی دار می باشد. همچنین در مورد سطوح تیمار شوری با افزایش غلاظت NaCl فعالیت آنزیم POD افزایش یافته و بین هر سه

نتایج حاصل از مقایسه طول ریشه در دو ژنتیپ مورد بررسی قرار گرفت. تجزیه واریانس داده‌ها نشان داد که اختلاف بین ژنتیپ‌ها و سطوح تیمار شوری در سطح ۱٪ معنی دار می باشد، در حالیکه اثر متقابل معنی دار نیست (جدول ۲). مقایسه میانگین ساده نشان داد طول ریشه در گیاه موتانت *ssl6* بیشتر بوده و نیز با افزایش سطح تیمار شوری از رشد ریشه در هر دو ژنتیپ به صورت معنی داری کاسته شده است (جدول ۳). بنابراین ژنتیپ موتانت نسبت به ژنتیپ وحشی پاسخ مناسب تری در زمینه تحمل به تنش شوری داشته است. لذا طول ریشه‌های ژنتیپ موتانت از کاهش کمتری در مقایسه با تیپ وحشی برخوردار بوده است. از جمله تاثیرات تنش شوری کاهش رشد و نمو گیاه است. وقتی گیاه در معرض تنش شوری قرار می گیرد، د ساختمان ریشه آن (Root System) (Architecture RSA) تغییر کرده و طی آن از رشد ریشه اولیه Galvanic- جلوگیری و بر رشد ریشه‌های جانبی افزوده می شود (Galvanic-). گیاه آراییدوپسیس زمانی (Ampudia and Testerink, 2011) که در معرض تنش شوری قرار می گیرد، نرخ رشد ریشه آن با افزایش غلاظت NaCl کاهش می یابد. مطالعات نشان داده است که این کاهش رشد به علت کاهش تقسیم سلولی و نیز کوچکتر بودن سلول‌های تولید شده در مریستم نوک ریشه می باشد، به عبارتی تنش شوری از طویل شدن سلول‌ها نیز نتایج اندازه گیری طول ریشه، بنظر می رسد گیاه موتانت *ssl6* نسبت به گیاه مادری توانایی بیشتری در مقابله با تنش شوری

APX، CAT و GR در رقم مقاوم بیشتر از ارقام حساس بوده و لذا گیاهچه های فرق رشد بیشتری در شرایط تنش دارد (El-Bastawisy, 2010).

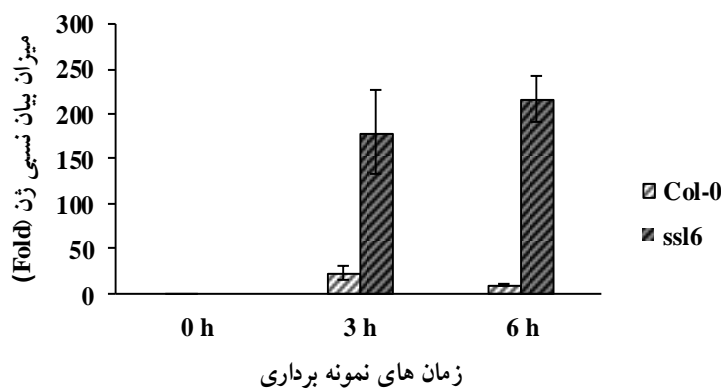
افزایش شوری تأثیر منفی بر روی فیزیولوژی گیاه داشته باعث آسیب‌هایی نظیر آسیب اکسیداتیو می‌شود. نتیجه این تاثیرات می‌تواند باعث آسیب به غشاء سلولی، جلوگیری از فتوسترز، تولید متabolیت‌های سمی، کاهش جذب مواد غذایی و در نهایت مرگ گیاه می‌شود (Tavakkoli *et al.*, 2011). فعالیت آنژیم‌های جمع‌آوری کننده ROS همبستگی بالایی با دفاع آنتی‌اکسیدانتی و مقاومت به تنش شوری دارد. با این حال این میزان فعالیت در ارقام مختلف در شدت و مدت تنش متفاوت است. تولید ROS و افزایش فعالیت بسیاری از آنژیم‌های آنتی‌اکسیدانتی در طول تنش شوری در مورد بسیاری از گیاهان گزارش شده است و بسیاری نشان داده‌اند که فعالیت آنژیم‌های آنتی‌اکسیدانتی در ژنوتیپ‌های مقاوم در پاسخ به شوری افزایش یافته در حالی که در گونه‌های حساس تغییر مشاهده نمی‌شود (Ghosh *et al.*, 2011). از جمله دلایل مقاومت برج رقم Pokkali به شوری افزایش فعالیت آنژیم‌های آنتی‌اکسیدانتی و نیز فعال شدن سریع این آنژیم‌ها ذکر شده (Vaidyanathan *et al.*, 2003). سرکوب ژن SSL6 در گیاهان موتانت SSL6 موجب فعال شدن سیستم پاسخ آنتی‌اکسیدانتی و تحمل بیشتر در گیاهان موتانت در پاسخ به تنش شوری شده است. بنابراین خاموشی ژن SSL6 در لاین جهش یافته موجب افزایش فعالیت سیستم آنتی‌اکسیدانتی در گیاه و احتمالاً بدنبال آن افزایش تحمل گیاهان موتانت در مقایسه با گیاهان وحشی شود.

بررسی بیان نسبی ژن‌های واکنش‌گر به تنش شوری: اندازه گیری میزان بیان ژن‌های مؤثر بر پاسخ گیاه به تنش و ایجاد تحمل بیشتر به تنش شوری از جمله روش‌های ارزیابی تحمل یا حساسیت گیاهان در واکنش به تنش شوری می‌باشد. این ژن‌ها عموماً کد کننده پروتئین‌هایی هستند که عمدتاً در تولید متabolیت‌های مؤثر در پاسخ گیاهان به تنش شوری نظیر هورمون ABA یا اسید آمینه پرولین نقش دارند. در شرایط

سطح تیمار اختلاف معنی‌دار وجود دارد (جدول ۳). در مورد اثر متقابل ژنوتیپ و تیمار داده‌های مقایسه میانگین نشان می‌دهد که در سطح صفر اختلاف معنی‌داری در فعالیت آنژیم POD بین ژنوتیپ‌ها وجود ندارد، ولی در غلظت‌های ۱۰۰ و ۲۰۰ میلی مولار فعالیت آنژیم POD در ژنوتیپ ssl6 به ترتیب به مقدار Col-0 و U/gFWmin ۰/۷۰ و در ژنوتیپ ۰ به Col-0 به U/gFWmin ۰/۱۹۵ و U/gFWmin ۰/۴۲ بوده و بین دو ژنوتیپ اختلاف معنی‌دار وجود دارد (جدول ۴).

نتایج تجزیه واریانس داده‌های فعالیت آنژیم کاتالاز نشان می‌دهد که در دو ژنوتیپ در سطح ۵ درصد دارای اختلاف معنی‌دار بوده (جدول ۲) و مقایسه میانگین اثرات ساده نشان داد که فعالیت آنژیم کاتالاز در ژنوتیپ ssl6 بیشتر از ژنوتیپ Col-0 بوده و تفاوت معنی‌دار می‌باشد (جدول ۳). فعالیت این آنژیم در مورد تیمار شوری و اثر متقابل ژنوتیپ و تیمار معنی‌دار نیست (جدول ۲).

در حالت کلی اندازه گیری فعالیت آنژیم‌های کاتالاز، پراکسیداز و سوپراکسید دیسموتاز در دو ژنوتیپ موتانت و تیپ وحشی حاکی از تأثیر مثبت سرکوب ژن SSL6 در افزایش فعالیت آنژیم‌های جمع‌آوری کننده ROS های حاصل از تنش شوری در آرابیدوپسیس می‌باشد. انوع تنش‌های غیر زیستی موجب تولید بیش از حد گونه‌های فعال اکسیژن می‌شوند که بسیار سمی و فعال بوده و باعث آسیب به پروتئین‌ها، چربی‌ها، کربوهیدرات‌ها و DNA و نهایتاً باعث تنش اکسیداتیو می‌شوند. سیستم آنتی‌اکسیدانتی در مقابل تنش اکسیداتیو از گیاه حفاظت می‌کند. این سیستم در گیاهان شامل آنژیم‌هایی مانند کاتالاز، پراکسیداز، سوپراکسیداز و نیز ترکیبات آنتی‌اکسیدانتی غیر آنژیمی نظیر آسکوربیک اسید و گلوتاتیون می‌باشد که سلول‌های گیاهی را از آسیب‌های اکسیداتیو از طریق جمع آوری ROS ها حفاظت می‌کند. (Gill and Tuteja, 2010). پاسخ گیاهان به تنش شوری بر اساس ژنوتیپ، مرحله نموی و نیز شدت و مدت تنش متفاوت است. در تحقیقی که به منظور تأثیر تنش شوری بر روی رشد گیاهچه‌های گندم صورت گرفت، گزارش شد که فعالیت بیشتر آنژیم‌های آنتی‌اکسیدانت SOD



شکل ۲- الگوی بیان نسبی ژن RD29A در پاسخ به تنش شوری در زمان‌های صفر، ۳ و ۶ ساعت (h) پس از تیمار (داده‌ها به صورت میانگین ± خطای استاندارد ارائه شده‌اند).

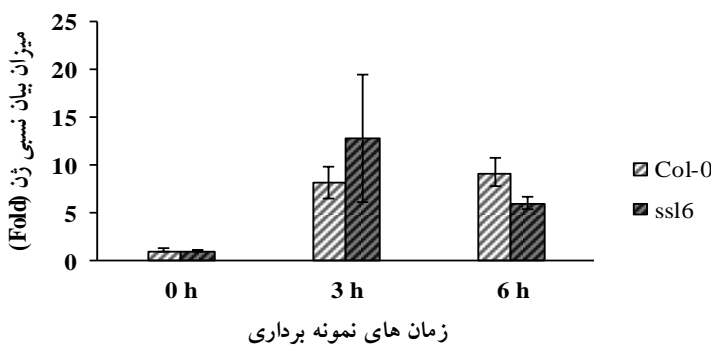
مشخص کرد که از نظر مورفولوژیکی و بیوشیمیایی گیاهان جهش یافته به تنش شوری حساس بودند که نشان از نقش این ژن در پاسخ به تنش‌ها دارد (Msanne *et al.*, 2011). ناحیه پروموتوری این ژن حاوی عناصر تنظیم کننده DRE/CRT و ABRE واکنش به تنش‌های غیر زیستی بوده و باعث القاء بیان این ژن از طریق میانکنش با فاکتور رونویسی DREB می‌گردد (Kant *et al.*, 2007). بیان ژن Δ -پروولین-۵-کربوکسیلات سیتاز ($P5CS1$) ۳ ساعت پس از تیمار شوری در هر دو ژنوتیپ افزایش نشان می‌دهد که این افزایش در گیاه موتانت بیشتر و ۱/۷۵ برابر گیاه تیپ وحشی می‌باشد. در زمان ۶ ساعت پس از تیمار شوری بیان ژن $P5CS1$ در گیاه موتانت کاهش یافته است در حالی که میزان بیان نسبی این ژن در گیاه تیپ وحشی اندکی افزایش نشان می‌دهد (شکل ۳).

۵-پروولین-۵-کربوکسیلات سیتاز ($P5CS1$) آنزیم کلیدی بیوستزر پروولین می‌باشد. میزان رونویسی این ژن در شرایط تنش شوری، خشکی و نیز تیمار با ABA تغییر کرده و به صورت معنی‌داری افزایش می‌یابد. آنالیز بیوشیمیایی و مولکولی گیاهان موتانت که در آن $P5CS1$ خاموش شده‌اند در پاسخ به تنش شوری نشان دهنده کاهش میزان پروولین و حساسیت شدید به تنش شوری بوده و میزان گونه‌های فعال اکسیژن افزایش می‌یابد. تجمع پروولین یک پاسخ عمومی در گیاهان عالی به تنش شوری و خشکی می‌باشد.

تنش، میزان بیان نسبی ژن‌های پاسخ به تنش نظریer $RD29A$ Δ -pyrroline-) $P5CS1$, (Responsive to Desiccation 29A) abscisic-aldehyde) $AAO3$, (5-carboxylate synthase 1 9-cis-epoxycarotenoid () $NCED3$ (oxidase dioxygenase3) افزایش می‌یابد و افزایش تحمل به تنش شوری و سایر تنش‌های غیر زیستی را در گیاهان به دنبال دارد (Li *et al.*, 2015; Liu *et al.*, 2012).

بیان نسبی ژن $RD29A$ در گیاهان موتانت $ssl6$ در زمان‌های ۳ و ۶ ساعت پس از تیمار شوری به ترتیب ۸ و ۲۴ برابر در مقایسه با ژنوتیپ Col-0 بوده است که تفاوت معنی داری با بیان این ژن در ژنوتیپ Col-0 دارد (شکل ۲).

ژن $RD29A$ به تنش‌های غیر زیستی حساس و بیان آن در واکنش به این تنش‌ها افزایش می‌یابد. لذا در گروه ژن‌هایی دسته بندی می‌شود که در مقاومت به تنش‌های غیر زیستی نقش دارد (Msanne *et al.*, 2011). پروتئین کد شده بوسیله این ژن از نظر کارکرد شناخته شده نبوده و مکانیسم مقاومت حاصل از آن مشخص نمی‌باشد. با این حال آنها را (like late embryogenesis abundant) LEA بروتئین‌های شبه LEA نامند (Kaur and Gupta, 2005). از ژن‌های کد کننده LEA که فعالیت چاپرونی دارند برای تولید گیاهان مقاوم به تنش‌های غیر زیستی استفاده می‌شود (Shinozaki and Yamaguchi-*et al.*, 2007). مطالعه لاین‌های T -DNA ژن $RD29A$, Shinozaki, 2007



شکل ۳- الگوی بیان نسبی ژن *P5CS1* در پاسخ به تنش شوری در زمانهای صفر، ۳ و ۶ ساعت (h) پس از تیمار (داده‌ها به صورت میانگین ± خطای استاندارد ارائه شده‌اند).

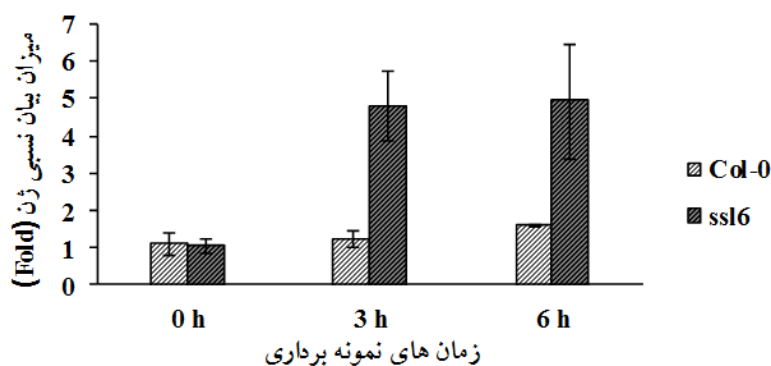
می‌دهد (شکل ۵). آنزیم‌های *AAO3* و *NCED3* از جمله آنزیم‌های کلیدی در بیوستز ABA می‌باشد. آخرین مرحله بیوستز ABA بوسیله آنزیم آبسیزیک آلدئید اکسیداز (*AAO3*) کاتالیز می‌شود. گیاه آراییدوپسیس دارای ۴ ژن کد کننده آنزیم *AAO* می‌باشد که از ۱ تا ۴ نام گذاری شده‌اند. آنزیم *AAO3* نقش اصلی را در بیوستز ABA در بین این آنزیم‌ها دارد. از سویی دیگر آنزیم *NCED3* آنزیم کلیدی بیوستز و نیز کترول سطح ABA در گیاه آراییدوپسیس می‌باشد (Seo *et al.*, 2000). تنش‌های غیر زیستی نظیر شوری باعث افزایش ABA در گیاه می‌شوند. مطالعات نشان داده است که تجمع ABA فاکتور اصلی در کترول پاسخ‌های گیاه برای مقاومت و تحمل به تنش می‌باشد. این پاسخ‌ها شامل تغییرات هدایت روزنایی، رشد، تجمع اسمولیت‌ها و تغییر بیان ژن‌ها می‌باشد (Verslues and Zhu, 2005).

بررسی بیان نسبی چهار ژن واکنش گر به تنش‌های غیر زیستی نشان داد که بیان این ژن‌ها در گیاه موتانت *ssi6* افزایشی بوده و در زمانهای ۳ و ۶ ساعت پس از تیمار *AAO3* که افزایش یافته است. در گیاه تیپ وحشی نیز بجز ژن *RD29A* یافته است. نتایج بررسی بیان آن در ساعت پس از اعمال تیمار افزایش محسوسی ندارد، بیان سایر ژن‌ها افزایش داشته است. نتایج بررسی بیان نسبی این ژن‌ها نشان دهنده تأثیر مثبت سرکوب ژن *SSL6* بر بیان ژن‌های پاسخ به تنش شوری است. ژن‌های *RD29A*

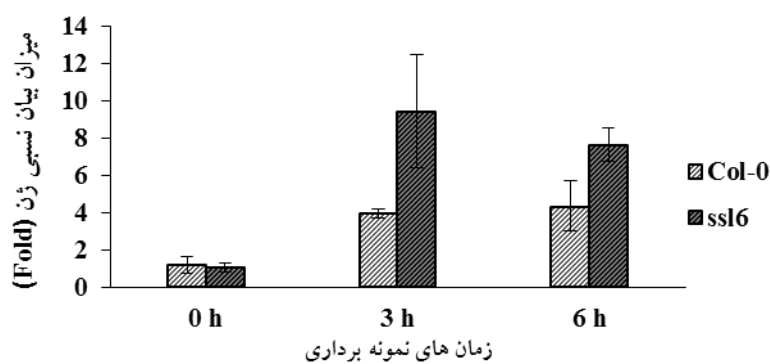
(Szekley *et al.*, 2008) پرولین عنوان یک اسمولیت بسیار مهم با فعالیت چاپرونی از ساختار پروتئین‌ها حفاظت کرده و نیز با فعالیت آنتی اکسیدانتی سطوح رادیکال‌های آزاد را کترول می‌کند (Hong *et al.*, 2000). اسید آمینه پرولین در پاسخ به تنش‌های محیطی در گیاهان تجمع می‌یابد. علاوه بر نقش پرولین در تنظیم اسمر سلولی، پرولین در حفاظت ساختار غشاء سلولی و پروتئین، جمع‌آوری رادیکال‌های آزاد نقش داشته و نیز باعث القاء ژن‌های پاسخ به شوری دارای عناصر تنظیمی پاسخ به پرولین در ناحیه پروموتری می‌باشد می‌گردد (Ashraf and Foolad, 2007).

بیان نسبی ژن آبسیزیک آلدئید اکسیداز (*AAO3*) در گیاه *Col-0* تغییر معنی‌داری در ساعت‌های پس از اعمال تیمار نداشته و القاء نشده است. در گیاه موتانت *ssi6* بیان ژن در ۳ و ۶ ساعت پس از تیمار افزایش حدود ۴ برابری را نسبت به زمان صفر نشان می‌دهد (شکل ۴).

الگوی بیان نسبی ژن *9*-سیس- اپوکسی‌کاروتونوئید دی اکسیژنаз (*NCED3*) افزایشی می‌باشد، ولی بیان آن ۶ ساعت پس از اعمال تیمار شوری کاهش یافته است. ژن *3* در گیاه تیپ وحشی نیز افزایش یافته و نسبت به زمان صفر تقریباً ۴ برابر افزایش یافته است، با این حال میزان این افزایش نسبت به گیاه چهش یافته است. افزایش بیان ژن *NCED3* در گیاه موتانت *ssi6* نسبت به گیاه تیپ وحشی در زمان ۳ و ۶ ساعت پس از تیمار به ترتیب ۲/۴ و ۱/۷۵ برابر افزایش نشان



شکل ۴- الگوی بیان نسبی ژن ر پاسخ به تنش شوری در زمانهای صفر، ۳ و ۶ ساعت (h) پس از تیمار (داده‌ها به صورت میانگین \pm خطای استاندارد ارائه شده‌اند).



شکل ۵- الگوی بیان نسبی ژن NCED3 در پاسخ به تنش شوری در زمانهای صفر، ۳ و ۶ ساعت (h) پس از تیمار (داده‌ها به صورت میانگین \pm خطای استاندارد ارائه شده‌اند).

در ژن SSL6 به بررسی نقش احتمالی این ژن در پاسخ به تنش شوری پرداخته شد. اندازه‌گیری درصد جوانهزنی و نیز رشد ریشه در شرایط تنش نشان دهنده پاسخ بهتر گیاه جهش یافته نسبت به گیاه مادری می‌باشد. بر اساس نتایج حاصل از بررسی میزان فعالیت آنزیم‌های آنتی‌اکسیدانت و نیز ژن‌های واکنش‌گر به تنش شوری می‌توان نتیجه گرفت که در گیاهان موتابنت بخشی از سیستم دفاعی گیاه فعال شده است که می‌تواند موجب ایجاد تحمل بیشتر در گیاه موتابنت نسبت به گیاه تیپ وحشی گردد. مطالعات انجام گرفته بر روی میزان آنزیم‌های POD، SOD و CAT نشان می‌دهد که افزایش فعالیت این آنزیم‌ها در گیاه موتابنت نسبت به گیاه مادری ارتباط مستقیمی با میزان تحمل گیاهان تنش شوری می‌تواند داشته باشد. با توجه به نقش ژن‌های AAO3، RD29A، NCED3 و P5CS1 در تولید ترکیباتی نظیر پرولین و ABA و افزایش بیان این ژن‌ها در

AAO3 و NCED3 ژن‌هایی هستند که از دو طریق وابسته به هورمون ABA و نیز مستقل از آن القا شده و نقش کارکردی خود را ایفا می‌کنند. وجود عناصر تنظیمی پاسخ به ABA و همچنین تنش‌های غیر زیستی می‌تواند باعث بیان ژن‌های درگیر در تنش گردد (Yamaguchi-Shinozaki and Shinozaki, 2006; Singh and Laxim, 2015; Barrero *et al.*, 2006). احتمالاً ژن SSL6 یک ممانعت کننده مسیرهای پاسخ به تنش‌های غیر زیستی از طریق تأثیر بر روی عوامل انتقال پیام نظری فاکتورهای رونویسی و یا مسیر ABA می‌باشد. بنابراین سرکوب ژن SSL6 از طریق درج T-DNA اثر مهار کننده‌گی آن را از بین برده و موجب القاء بیان ژن‌های مقاومت به تنش شوری شده است.

نتیجه‌گیری کلی:

در این تحقیق با استفاده از لاین جهش یافته حاصل از درج-

SSL6 می‌باشد. با این حال جهت درک بهتر و کامل‌تر نقش ژن *SSL6* در پاسخ گیاه به تنش شوری فرایان آن و همچنین اندازه‌گیری محتوای پرولین و ABA و نیز بررسی مسیر پیام رسانی SOS در گیاهان موتانت و تیپ وحشی در پاسخ به تنش شوری می‌تواند این مطالعه را کامل‌تر نماید.

گیاهان موتانت، می‌توان گفت که احتمالاً میزان تولید پرولین و ABA در گیاه موتانت *ssl6* تغییر یافته و لذا باعث ایجاد تحمل بیشتر در این گیاهان در شرایط تنش شوری شده است. این تحقیق اولین گزارش در مورد تأثیر منفی ژن *SSL6* در پاسخ گیاه آرابیدوپسیس به تنش شوری و افزایش تحمل گیاه آرابیدوپسیس نسبت به این تنش در صورت سرکوب بیان ژن

منابع:

- Ashraf, M. and Foolad, M. (2007) Roles of glycine betaine and proline in improving plant abiotic stress resistance. *Environmental and Experimental Botany* 59: 206-216.
- Barrero, J., Rodriguez, P. L., Quesada, V., Piqueras, P., Ponce, M. R., & Micol, J. L. (2006) Both abscisic acid (ABA) dependent and ABA independent pathways govern the induction of NCED3, AAO3 and ABA1 in response to salt stress. *Plant, cell and environment* 29: 2000-2008.
- Beauchamp, C. and Fridovich, I. (1971) Superoxide dismutase: Improved assays and an assay applicable to acrylamide gels. *Analytical Biochemistry* 44: 276-87.
- Beers, R. F. and Sizer, I. W. (1952) A spectrophotometric method for measuring the breakdown of hydrogen peroxide by catalase. *The Journal of Biological Chemistry* 195: 133-140.
- Chance, B. and Maehly, A. C. (1955) Assay of catalase and peroxidase. *Methods Enzymology* 2: 764-775.
- Cheong, M. S. and Yun, D. J. (2007) Salt-stress signaling. *Journal of Plant Biology* 50: 148-155.
- Dobritsa, A. A., Nishikawa, S. I., Preuss, D., Wochniak, E. U., Summer, L. W., Hammond, A., Carson, A. L. and Swanson, R. J. (2009) LAP3, a novel plant protein required for pollen development, is essential for proper exine formation. *Sexual Plant Reproduction* 22: 167-177.
- Dong, C. J. and Liu, J. Y. (2010) The *Arabidopsis* EAR-motif-containing protein RAP2. 1 functions as an active transcriptional repressor to keep stress responses under tight control. *BMC plant biology* 10: 47.
- Dutta, A., Sen, J. and Deswal, R. (2013). New evidences about strictosidine synthase (Str) regulation by salinity, cold stress and nitric oxide in *Catharanthus roseus*. *Journal of Plant Biochemistry and Biotechnology* 22: 124-131.
- El-Bastawisy, Z. M. (2010) Variation in antioxidants among three wheat cultivars varying in tolerance to NaCl. *Gen Appl Plant Physiol* 36: 189-203.
- Fabbri, M., Delp, G., Schmidt, O. and Theopold, U. (2000) Animal and plant members of a gene family with similarity to alkaloid-synthesizing enzymes. *Biochemical and Biophysical Research Communications* 271: 191-196.
- Galvan-Ampudia, C. S. and Testerink, C. (2011) Salt stress signals shape the plant root. *Current opinion in plant biology* 14: 296-302.
- Ghosh, N., Adak, M. K., Ghosh, P. D., Gupta, S., Sen Gupta. D. N. and Mandal, C. (2011) Differential responses of two rice varieties to salt stress. *Plant Biotechnology Reports* 5: 89-103.
- Gill, S. S. and Tuteja, N. (2010) Reactive oxygen species and antioxidant machinery in abiotic stress tolerance in crop plants. *Plant Physiology Biochemistry* 48: 909-930.
- Hong, Z., Lakkineni, K., Zhang, Z. and Verma, D. P. S. (2000) Removal of feedback inhibition of D(1)-pyrroline-5-carboxylate synthetase results in increased proline accumulation and protection of plants from osmotic stress. *Plant Physiology* 122: 1129-1136.
- Ji, H., Pardo, J. M., Batelli, G., Van Oosten, M. J., Bressan, R. A. and Li, X. (2013) The Salt Overly Sensitive (SOS) pathway: established and emerging roles. *Molecular Plant* 6: 275-286.
- Kant, P., Kant, S., Gordon, M., Shaked, R and Barak, S. (2007). STRESS RESPONSE SUPPRESSOR1 and STRESS RESPONSE SUPPRESSOR2, two DEAD-box RNA helicases that attenuate *Arabidopsis* responses to multiple abiotic stresses. *Plant physiology* 145: 814-830.
- Kaur N. and Gupta A. K. (2005) Signal transduction pathways under abiotic stresses in plants. *Current Science* 88: 1771-1780.
- Kibble, N. A., Sohani, M. M., Shirely, N., Byrt, C., Roessner, U., Bacic, A., Schmidt, O. and Schultz, C. J. (2009) Phylogenetic analysis and functional characterization of strictosidine synthase-like genes in *Arabidopsis thaliana*. *Functional Plant Biology* 36: 1098-1109.
- Koornneef, M. and Meinke, D. (2010) The development of *Arabidopsis* as a model plant. *The Plant Journal* 61: 909-921.
- Li, F., Guo, S., Zhao, Y., Chen, D., Chong, K. and Xu, Y. (2010). Overexpression of a homopeptide repeat-containing bHLH protein gene (OrbHLH001) from Dongxiang Wild Rice confers freezing and salt tolerance in transgenic *Arabidopsis*. *Plant cell reports* 29: 977-986.

- Li, J., Ban, L., Wen, H., Wang, Z., Dzyubenko, N., Chapurin, V. and Wang, X. (2015) An aquaporin protein is associated with drought stress tolerance. *Biochemical and biophysical research communications* 459: 208-213.
- Liu, R., Liu, Y., Ye, N., Zhu, G., Chen, M., Jia, L. and Zhang, J. (2015) AtDsPTP1 acts as a negative regulator in osmotic stress signalling during *Arabidopsis* seed germination and seedling establishment. *Journal of experimental botany* 66: 1339-1353.
- Livak, K. J. and Schmittgen, T. D. (2001) Analysis of Relative Gene Expression Data Using Real-Time Quantitative PCR and the $2^{-\Delta\Delta CT}$ Method. *Methods* 25: 402-408.
- Msanne, J., Lin, J., Stone, J. M. and Awada, T. (2011) Characterization of abiotic stress-responsive *Arabidopsis thaliana* RD29A and RD29B genes and evaluation of transgenes. *Planta* 234: 97-107.
- Munns, R. (2002). Comparative physiology of salt and water stress. *Plant, cell & environment* 25: 239-250.
- Park, H. J., Kim, W. Y. and Yun, D. J. (2016) A New Insight of Salt Stress Signaling in Plant. *Molecules and cells*.
- Qadir, M., Tubeileh, A., Akhtar, J., Larbi, A., Minhas, P. S. and Khan, M. A. (2008). Productivity enhancement of salt-affected environments through crop diversification. *Land Degradation and Development* 19: 429–453.
- Radhamony, R. N., Mohan Prasad, A. and Srinivasan, R. (2005) T-DNA insertional mutagenesis in *Arabidopsis*: a tool for functional genomics. *Electronic Journal of Biotechnology* 8: 82-106.
- Seo, M., Peeters, A. J. M., Koiwai, H., Oritani, T., Marion-Poll, A., Zeevaart J. A. D., Koornneef, M., Kamiya, Y. and Koshiba, T. (2000) The *Arabidopsis* aldehyde oxidase 3 (AAO3) gene product catalyzes the final step in abscisic acid biosynthesis in leaves. *Proceedings of the National Academy of Sciences* 97: 12908-12913.
- Shi, H. T., Li, R. J., Cai, W., Liu, W., Wang C. L. and Lu, Y. T. (2012) Increasing Nitric Oxide Content in *Arabidopsis thaliana* by Expressing Rat Neuronal Nitric Oxide Synthase Resulted in Enhanced Stress Tolerance. *Plant and Cell Physiology* 53: 344–357.
- Shinozaki, K. and Yamaguchi-Shinozaki K. (2007) Gene networks involved in drought stress response and tolerance. *Journal of Experimental Botany* 58: 221–227.
- Singh, D. and Laxmi, A. (2015) Transcriptional regulation of drought response: a tortuous network of transcriptional factors. *Frontiers in plant science* 6.
- Sohani, M. M., Schenk, P. M., Schultz, C. J. and Schmidt, O. (2009) Phylogenetic and transcriptional analysis of a strictosidine synthase-like gene family in *Arabidopsis thaliana* reveals involvement in plant defence responses. *Plant Biology* 11: 105-117.
- Stockigt, J., Barleben, L., Panjikar, S. and Loris, E. A. (2008) 3D-structure and function of strictosidine synthase the key enzyme of monoterpenoid indole alkaloid biosynthesis. *Plant Physiology Biochemistry* 46:340-355.
- Szekley, G., Abraham, E., Cseplo, A., Rigo, G., Zsigmond, L., Csizsar, J., Ayaydin, F., Strizhov, N., Jasik, J., Schmelzer, E., Koncz, C. and Szabadoss, L. (2008) Duplicated P5CS genes of *Arabidopsis* play distinct roles in stress regulation and developmental control of proline biosynthesis. *The Plant Journal* 53: 11-28.
- Tavakkoli, E., Fatehi, F., Coventry, S., Rengasamy, P. and McDonald, G. K. (2011) Additive effects of Na⁺ and Cl⁻ ions on barley growth under salinity stress. *Journal of Experimental Botany* 62: 2189–2203.
- Vaidyanathan, H., Sivakumar, P., Chakrabarty, R and Thomas, G. (2003) Scavenging of reactive oxygen species in NaCl-stressed rice (*Oryza sativa* L.)—differential response in salt-tolerant and sensitive varieties. *Plant Science* 165: 1411-1418.
- Verslues, P. E. and Zhu, J. K. (2005) Before and beyond ABA: upstream sensing and internal signals that determine ABA accumulation and response under abiotic stress. *Biochemical Society Transactions* 33: 375-379.
- Walden, R. (2002) T-DNA tagging in a genomics era. *Critical reviews in plant sciences* 21: 143-165.
- West, G., Inze, D. and Beemster, G. T. (2004) Cell cycle modulation in the response of the primary root of *Arabidopsis* to salt stress. *Plant physiology* 135: 1050-1058.
- Yan, A., Wu, M., Yan, L., Hu, R., Ali, I. and Gan, Y. (2014) AtEXP2 is involved in seed germination and abiotic stress response in *Arabidopsis*. *PloS one* 9: e85208.
- Yamaguchi-Shinozaki, K. and Shinozaki, K. (2006) Transcriptional regulatory networks in cellular responses and tolerance to dehydration and cold stresses. *Annu. Rev. Plant Biol* 57: 781-803.
- Yoshida, S., Ito, M., Nishida, I. and Watanabe, A. (2001) Isolation and RNA Gel Blot Analysis of Genes that Could Serve as Potential Molecular Markers for Leaf Senescence in *Arabidopsis thaliana*. *Plant Cell Physiology* 42: 170-178.

